



Assessment of Active Tectonic by Using Geomorphic Indices in Dezful-Andimeshk Basin, Iran

ARTICLE INFO

Article Type

Original Research

Authors

Khalaj M.*¹ PhD

How to cite this article

Khalaj M. Assessment of Active Tectonic by Using Geomorphic Indices in Dezful-Andimeshk Basin, Iran. Geographical Researches. 2020;35(1):83-94.

ABSTRACT

Aims & Backgrounds Almost no area in the world can be found that has not been affected by tectonic processes. The morpho-tectonic indices of the basin are used to investigate the active tectonics. Morphometry can be defined as the quantitative measurement of the shape of the Earth's landscape that using these quantitative measurements can identify areas with active tectonics. The purpose of this study was to investigate the Active tectonic in Dezful- Andimeshk basin using five geomorphological indices of the Drainage Asymmetry Factor (Af), Relative relief (Bh), Form factor (Ff), Hypsometric integral and curve (Hi), and Stream gradient index (SL). With this research, it is possible to find out the active processes in Dezful-Andimeshk basin and the damage from natural disasters such as floods and earthquakes can be partially prevented.

Methodology This study is an applied research and has used quantitative calculations. GIS software and digital elevation map (DEM) with resolution of 30 m were used to calculate the indices. For each index, the zoning map in the study area was plotted and each of these indices was divided into five categories of very high, high, medium, low and very low in terms of tectonic activity. Finally, by averaging the whole set of indices, a final index called relative active tectonics index (lat) was calculated and the study area was divided into four categories of very high, high, medium and low tectonic activity.

Findings In the sub basins corresponding to Dowragh, Mountain Front Fault and Parts of the Labrian, Ramhormoz and Balarud, the measured indices show high values due to the high tectonic activity of the area.

Conclusion The results of this study show that recent relative tectonic activity in Dezful-Andimeshk basin is high and very high due to the impact of the faults on the area.

Keywords Drainage Basin; Active Tectonic; Geomorphology Index; Faulting

CITATION LINKS

¹Department of Geology, Faculty of Science, Tehran Branch, Payame Noor University, Tehran, Iran

***Correspondence**

Address: Department of Geology, Payame Noor University of Tehran (PNU), Nakhl Street, Tehran, Iran. Postal Code: 1955643183.

Phone: +98 (21) 22442034

Fax: +98 (21) 22458369

m_khalaj@pnu.ac.ir

Article History

Received: November 27, 2019

Accepted: March 13, 2020

ePublished: March 18, 2020

- [Abdideh M, et al; 2011] Assessment of relative active tectonics ...; [Bayati Khatibi M; 2009] Neotectonic affection analysis on ...; [Berberian M; 1995] Master "blind" thrust faults hidden ...; [Bull WB; 1977] Tectonic geomorphology north ...; [Burbank DW, Anderson RS; 2012] Tectonic ...; [El Hamdouni R, et al; 2008] Assessment of relative active ...; [Figueroa AM, Knott JR; 2010] Tectonic geomorphology of the southern ...; [Font M, et al; 2010] DEM and GIS analysis of the stream ...; [Fossen H; 2010] Structural ...; [Guarnieri P, Pirrotta C; 2008] The response of drainage basins ...; [Hack JT; 1973] Stream-profiles analysis and stream ...; [Hare PW, Gardner TW; 1985] Geomorphic indicators of vertical ...; [Holbrook J, Schumm SA; 1999] Geomorphic and sedimentary response ...; [Horton RE; 1945] Erosional development of streams and their ...; [Keller EA, Pinter N; 1996] Active tectonics Earthquakes ...; [Keller EA, et al; 1998] Active tectonics at Wheeler Ridge ...; [Keller EA, Pinter N; 2002] Earthquakes, Uplift, and ...; [Maathuis BHP, Wang L; 2006] Digital elevation model based hydro ...; [Maghsoudi M, Kamrani DH; 2009] Evaluation effect of tectonic activity ...; [Melosh BL, Keller EA; 2013] Effects of active folding and reverse faulting ...; [Moore ID, et al; 1991] Digital terrain modelling: A ...; [Seif A, Khosravi G; 2011] Investigation of active tectonics in Zagros ...; [Singh P, et al; 2014] Hydrological inferences from watershed ...; [Stocklin J; 1968] Structural history and tectonics of Iran ...; [Strahler AN; 1952] Hypsometric (area-altitude) analysis ...; [Walker RT; 2006] A remote sensing study of active folding ...; [Wells SG, et al; 1988] Regional variations in tectonic geomorphology ...; [Yamani M, et al; 2012] Morphologic and morphometric evidence for active ...

وسيع به کار گرفته شوند و داده های ضروری آن اغلب به سرعت از نقشه های رقومی و تصاویر ماهواره ای به دست می آيند [Keller & Pinter, 1996]. فرآيندهای زمین ساخت فعال می تواند بر شکل و عملکرد رودها تأثیر بگذارد [Holbrook & Schumm, 1999]. بررسی الگوی زهکشی، میزان حفر و انحراف رودها، اطلاعات مهمی در مورد گسترش و تکامل ساختاری منطقه فراهم می آورد [Keller et al, 1998; Walker, 2006] . استفاده از شاخص های ریخت-سنجدی در مطالعه فعالیت های نو زمین ساختی توسط هورتن [Horton, 1945] آغاز و به وسیله محققین دیگری همچون ستراهلر [Strahler, 1952] دنبال شده است. یمانی و همکاران [Yamani et al, 2012] شواهد کیفی ریخت زمین ساختی و شاخص های کمی ریخت-سنجدی حاصل از زمین ساخت فعال بر مخروطه افکنهای شمال دامغان را مورد بررسی قرار دادند. نتایج حاصل از این پژوهش فعال بودن گسل ها را در دوره کواترنری نشان می دهد. آبدیده و همکاران [Abdideh et al, 2011] ارزیابی نسبی زمین ساخت فعال با استفاده از تحلیل ریخت-سنجدی در حوضه آبریز رودخانه دز را بررسی کردند. نتایج حاصل از این بررسی نشان داد که علت گستردگی نرخ زمین ساخت در این منطقه ناشی از برخورد قاره ای بین صفحه عربی و بلوك ایران است. از سایر تحقیقات انجام شده در زمینه ریخت زمین ساخت می توان به سیف و خسروی [Bayati khatibi, 2011], بیاتی خطیبی [Seif & Khosravi, 2011] و مقصودی و کامرانی [Maghsoudi & Kamrani, 2009] اشاره کرد.

هدف از این مطالعه، نشان دادن فعالیت های نو زمین ساختی با استفاده از شاخص های کمی ریخت-سنجدی در حوضه آبریز دزفول-اندیمشک است. بدین منظور، پنج شاخص عدم تقارن حوضه زهکشی (Af)، برجستگی نسبی (Bh)، ضریب شکل (Ff)، انتگرال (Hi) و گرادیان طولی رود (SL) در گستره مورد مطالعه اندازه گیری شد، سپس شاخص زمین ساخت فعال نسبی (lat) تعیین گردید.

روش شناسی

پژوهش حاضر از نظر هدف کاربردی است. ماهیت داده ها و محاسبات کمی است. از دید جغرافیایی حوضه آبریز دزفول-اندیمشک با مساحت ۵۹۵۹/۱۵ کیلومترمربع در جنوب باختری ایران و در استان خوزستان واقع شده و جزئی از حوضه آبریز کارون بزرگ است. منطقه مورد بررسی بین طول های جغرافیایی "۴۱° ۴۸' ۳۳" تا "۴۰° ۵۶' ۳۳" شرقی وعرض جغرافیایی "۱۶° ۳۱' ۰" تا "۱۷° ۳۶' ۰" شمالی قرار گرفته است (شکل ۱).

در این مطالعه، به منظور بررسی زمین ساخت فعال در گستره مورد مطالعه از شاخص های ریخت-سنجدی حوضه آبریز استفاده شده است. با استفاده از مدل رقومی ارتقای (DEM) می توان ویژگی ها و شاخص های رودخانه را به طور دقیق استخراج و به تحلیل حوضه های زهکشی پرداخت [Moore et al, 1991; Maathuis & Wang,

بررسی زمین ساخت فعال با استفاده از شاخص های ریخت-سنجدی در حوضه آبریز دزفول-اندیمشک

محمد خلچ*

گروه زمین شناسی، دانشکده علوم، واحد تهران، دانشگاه پیام نور، تهران، ایران

چکیده

هدف و زمینه ها: تقریباً هیچ ناحیه ای را در جهان نمی توان یافت که تحت تأثیر فرآیندهای زمین ساختی قرار نگرفته باشد. از شاخص های ریخت زمین ساختی حوضه آبریز به منظور بررسی زمین ساخت فعال استفاده می شود. ریخت-سنجدی را می توان اندازه گیری کمی شکل چشم اندازه های روی زمین تعريف کرد که با استفاده از این اندازه گیری های کمی می توان به شناسایی مناطق دارای تکتونیک فعال پرداخت. هدف از این پژوهش بررسی زمین ساخت فعال در حوضه آبریز دزفول-اندیمشک با استفاده از پنج شاخص ریخت-سنجدی عدم تقارن حوضه زهکشی (Af)، برجستگی نسبی (Bh)، ضریب شکل (Ff)، انتگرال و منحنی فرازنجدی (Hi) و گرادیان طولی رود (SL) است. با انجام این پژوهش، میتوان به فرآیندهای فعال در حوضه دزفول-اندیمشک پی برد و از خسارت های ناشی از بلایای طبیعی مانند سیل و زلزله تا حدودی جلوگیری کرد.

روش شناسی: پژوهش حاضر از نظر هدف کاربردی است. ماهیت داده ها و محاسبات کمی است. برای محاسبه شاخص ها از نرم افزار GIS و مدل رقومی ارتقای (DEM) با دقت ۳۰ متر استفاده شد. برای هر شاخص نقشه پهن بندی در گستره مورد بررسی تهیه گردید و هر کدام از شاخص های مذکور از نظر فعالیت زمین ساختی به پنج ردۀ فعالیت بسیار بالا، بالا، متوسط، کم و بسیار کم تقسیم شد. در نهایت با میانگین گیری از ردۀ کل شاخص ها، شاخصی نهایی به نام شاخص زمین ساخت فعال نسبی (lat) حاصل شد و گستره مورد بررسی به چهار ردۀ فعالیت زمین ساختی بسیار بالا، بالا، متوسط و کم تقسیم گردید.

یافته ها: در زیر حوضه های منطقه بر گسل های دورق، گسل پیشانی کوهستان، بخش هایی از گسل های لهبری، رامهرمز و بالارود، شاخص های اندازه گیری شده مقادیر بالایی را نشان می دهند که به دلیل فعالیت زمین ساختی بالای منطقه است.

نتیجه گیری: نتایج حاصل از این پژوهش نشان می دهد که فعالیت زمین ساختی نسبی اخیر در حوضه دزفول-اندیمشک بالا و بسیار بالا است که به دلیل تأثیر گسل های مذکور بر منطقه است.

کلید واژه ها: حوضه زهکشی، زمین ساخت فعال، شاخص ریخت-سنجدی، گسل ش

تاریخ دریافت: ۱۳۹۸/۰۸/۰۶

تاریخ پذیرش: ۱۳۹۸/۱۲/۲۳

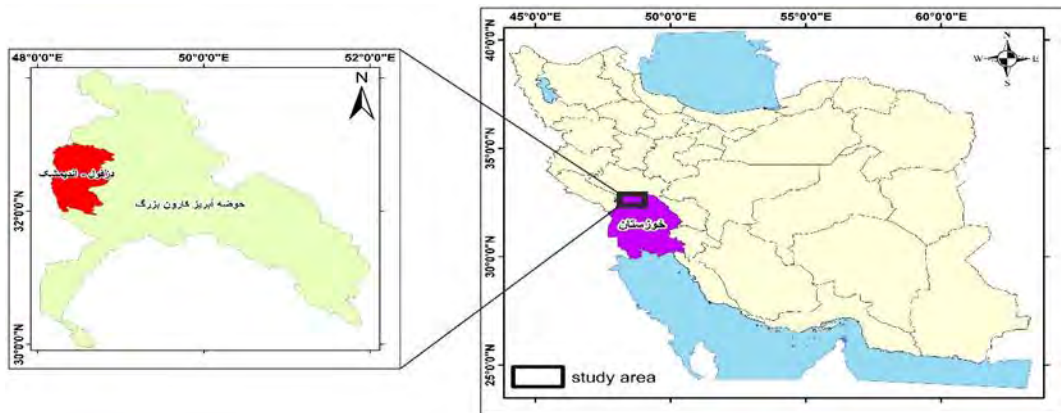
*توبیینده مسئول: m_khalaj@pnu.ac.ir

مقدمه

پوسته ایران زمین طی رخدادهای زمین شناسی دوره های ترشیری و کواترنری تحت تأثیر تحولات وسیعی قرار گرفته است؛ به همین دلیل بسیاری از سیماهای کنونی طی رخدادهای جوان زمین ساختی شکل گرفته اند [Fossen, 2010]. ریخت زمین ساخت، دانش مطالعه اشکال و سیماهای ایجاد شده بر روی زمین است که بر اثر مکانیسم های زمین ساختی ایجاد شده اند [Burbank & Anderson, 2012]. شاخص های ریخت-سنجدی در بررسی های زمین ساختی مفید هستند، زیرا می تواند برای ارزیابی سریع مناطق

هستند، تعیین و برای هر شاخص نقشه پهنه‌بندی محدوده مورد مطالعه رسم شد. در پایان نتایج حاصل از اندازه‌گیری شاخص‌های ریخت‌سنگی برای هر زیرحوضه با ساختارهای اصلی منطقه، مورد بررسی و تجزیه و تحلیل قرار گرفت و نقشه سطح فعالیت نسبی زمین‌ساختی (*lat*) برای تعیین سطح فعالیت زمین‌ساختی کل رسم شد. شرح شاخص‌های ریخت‌سنگی مورد استفاده در این پژوهش در ادامه آمده است

[2006]. ابتدا با استفاده از مدل رقومی ارتفاعی ۳۰ متر در محیط GIS، زیر‌حوضه‌ها و آبراهه‌های گسترده مورد مطالعه استخراج شد و گسترده مورد مطالعه به ۴۲ زیر‌حوضه تقسیم گردید شکل ۲ و شاخص‌های ژئومورفیکی به تفکیک در هر کدام از زیر‌حوضه‌ها اندازه‌گیری شد. در مرحله بعد، با استفاده از نویسه‌های زمین‌شناسی ۱:۱۰۰۰۰۰ سازمان زمین‌شناسی کشور، واحدهای زمین‌شناسی و ساختارهای اصلی منطقه که شامل گسل‌ها و چین‌های منطقه

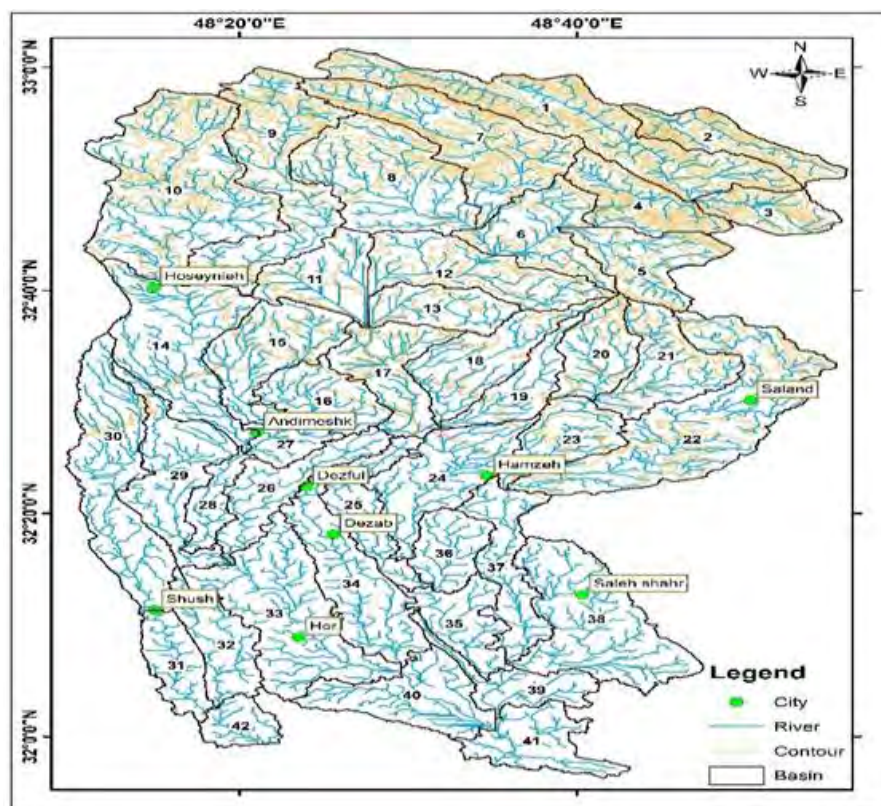


شکل ۱) موقعیت منطقه مورد مطالعه

ایران امتداد یافته است و بنا بر نظر بسیاری از زمین‌شناسان از شمال خاوری به خرد قاره (Micro-continent) ایران مرکزی و از جنوب باختری به سپر عربستان محدود شده و در بخش میانی کوه‌زایی آلپی قرار گرفته است.

حوضه ذوقول- اندیمشک در تقسیم‌بندی ساختمانی- رسوی ایران [Stocklin, 1968]، در محدوده زون زاگرس چین‌خورده واقع شده است.

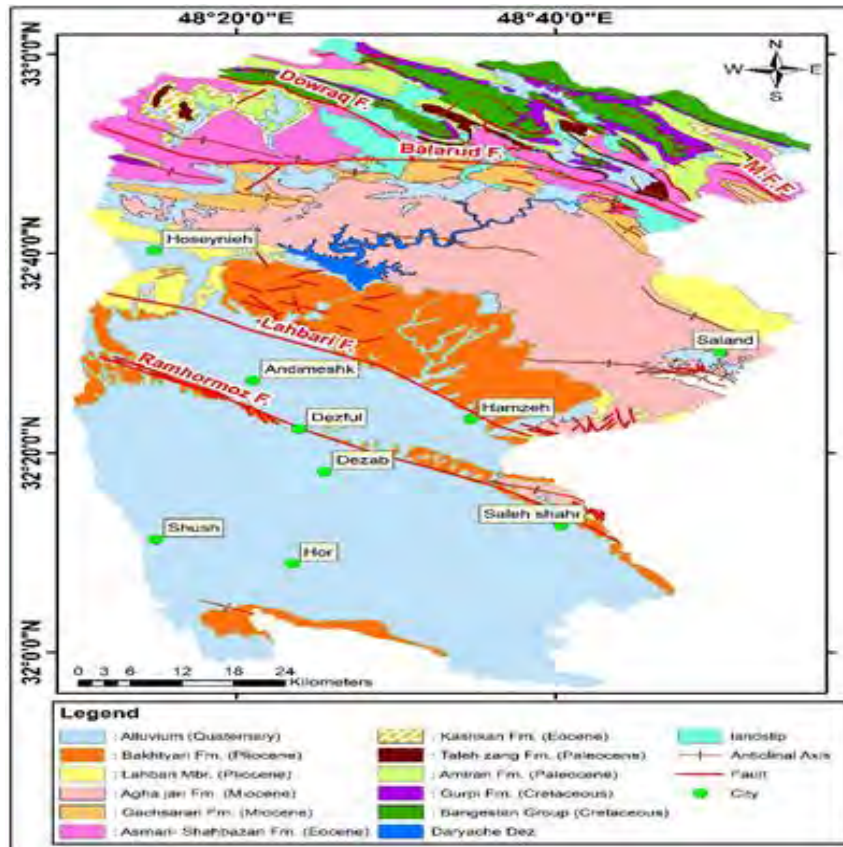
زاگرس کمریند کوه‌زایی است که از شمال باختری تا جنوب مرکز



شکل ۲) حوضه‌ها و آبراهه‌های استخراج شده در منطقه مورد مطالعه

بختیاری، لهبری، آقاجاری، گچساران، آسماری-شهبازان، کشکان، تله زنگ، امیران، گورپی و گروه بنگستان است (شکل ۳). گسل های مهم واقع در حوضه آبریز دزفول-اندیمشک عبارتند از گسل پیشانی کوهستان (M.F.F) دورق، گسل بالارود، گسل لهبری و گسل رامهرمز.

از دیدگاه زمین‌ساخت ورقه‌ای این کمریند کوهزایی به عنوان لبه فعال شمال خاوری سپر عربستان در نظر گرفته می‌شود [Berberian, 1995]. منطقه مورد مطالعه در محدوده نقشه‌های ۱:۱۰۰۰۰۰ دزفول، شهبازان و شوشتار و نقشه ۱:۲۵۰۰۰۰ دزفول واقع شده است. از لحاظ زمین‌شناسی منطقه شامل سازندهای



شکل (۳) نقشه زمین‌شناسی گستره مورد بررسی (برگرفته از نقشه ۱:۲۵۰۰۰۰ دزفول، سازمان زمین‌شناسی و اکتشاف معدنی کشور)

$Bh = H_{\max} - H_{\min}$ رابطه (۲)
در این رابطه، Bh برجستگی نسبی، H_{\max} بالاترین ارتفاع در هر حوضه و H_{\min} پایین‌ترین ارتفاع در هر حوضه است. این شاخص، نشان‌دهنده ارتفاع نسبی یک حوضه است. مقدار بالای برجستگی نسبی نشان‌دهنده شدت جریان آب، نفوذ پایین، نرخ بالاًمدگی بیشتر و مقدار بالای رواناب است که به دلیل فعالیت زمین‌ساختی بیشتر است [Keller & Pinter, 2002].

شاخص ضریب شکل (Ff):

شاخص ضریب شکل از رابطه (۳) محاسبه می‌شود، [Horton, 1945]:

$$Ff = A / L^2 \quad \text{رابطه (۳)}$$

در این رابطه A مساحت حوضه و L محدود طول حوضه است. طول حوضه از محل خروج آبراهه اصلی تا مرتفع‌ترین نقطه در حوضه محاسبه می‌شود. حوضه‌هایی با ضریب شکل بزرگ‌تر دارای دبی اوج بالا هستند. هر چه مقدار ضریب فرم به عدد ۱ نزدیک‌تر باشد حوضه مذکور به مرتبه نزدیک‌تر است و هر چه ضریب فرم کوچک‌تر از ۱

شاخص عدم تقارن حوضه زهکشی (Af):

عامل عدم تقارن، برای توصیف و درک ارتباط کج شدگی زمین‌ساختی در نواحی با مقیاس حوضه زهکشی و بزرگ‌تر ارتباط داده شده است. عامل عدم تقارن از رابطه (۱) محاسبه می‌شود [Hare & Gardner, 1985]:

$$Af = 100 (Ar/At) \quad \text{رابطه (۱)}$$

در این رابطه Ar مساحت قسمت راست حوضه در جهت پایین دست رود نسبت به رود اصلی و At مساحت کل حوضه زهکشی مقادیر است. در این شاخص برای ارزیابی زمین‌ساخت فعل نسبی، مقدار Af به صورت $0.5 \leq Af \leq 1$ ایجاد شده که قدر مطلق تفاضل بین مقدار مشاهده شده و مقدار خنثی ۰ است [El Hamdouni et al, 2008]. جهت تورق یا لایه بندی در سنگ، ممکن است در افزایش میزان این شاخص نقش مهمی داشته باشد.

شاخص برجستگی نسبی (Bh):

برجستگی نسبی حوضه اختلاف میان مرتفع‌ترین و پست‌ترین نقطه در حوضه است و از رابطه (۲) محاسبه می‌شود:

بررسی زمین‌ساخت فعال با استفاده از شاخص‌های ریخت‌سنگی در حوضه آبریز دزفول‌اندیمشک [El Hamdouni et al, 2008]. میانگین مقادیر رده شاخص‌های ریخت‌سنگی (S/n) اندازه‌گیری شده و شاخصی نهایی به نام شاخص زمین‌ساخت فعال نسبی (Iat) حاصل می‌شود.

یافته‌ها

با توجه به شاخص‌های ذکر شده در بخش روش تحقیق، در این بخش به بررسی یافته‌های حاصل از هر کدام از این شاخص‌ها پرداخته می‌شود.

تحلیل شاخص عدم تقارن حوضه زهکشی:

این شاخص برای ۴۲ زیرحوضه در گستره مورد مطالعه محاسبه شد (جدول ۱) و در پنج رده به لحاظ فعالیت زمین‌ساختی طبقه‌بندی گردید (شکل ۴) رده ۱ فعالیت زمین‌ساختی بسیار بالا ($Af < 38/4$ ، $16/15 \geq Af < 25/78$ ، $25/78 \geq Af < 25/28$ ، رده ۲ فعالیت زمین‌ساختی بالا ($Af < 16/15$ ، $16/8 \geq Af < 9/8$ ، رده ۴ فعالیت زمین‌ساختی متوسط ($9/8 \geq Af < 4/78$ ، رده ۵ فعالیت زمین‌ساختی بسیار کم ($4/78 \geq Af < 4/24$). بیشترین مقدار این شاخص $38/4$ مربوط به حوضه 21 و کمترین مقدار این شاخص $0/34$ مربوط به حوضه 31 است که در جنوب گستره مورد مطالعه واقع شده است.

تحلیل شاخص برجستگی نسبی:

برای محاسبه شاخص برجستگی نسبی، مرتفعترین و پستترین نقطه در هر حوضه با استفاده از مدل رقومی ارتفاعی محاسبه شد. نتایج حاصل از محاسبه این شاخص در جدول ۱ آمده است. این شاخص به پنج رده به لحاظ فعالیت زمین‌ساختی طبقه‌بندی گردید (شکل ۵) رده ۱ فعالیت زمین‌ساختی بسیار بالا ($Bh < 2274$ ، $16/5 \geq Bh < 16/0$ ، رده ۲ فعالیت زمین‌ساختی بالا ($Bh < 16/0$ ، رده ۴ فعالیت زمین‌ساختی متوسط ($13/0 \geq Bh < 29/5$ ، رده ۵ فعالیت زمین‌ساختی کم ($29/5 \geq Bh < 74/8$). بیشترین مقدار این شاخص در زیرحوضه 9 است که دارای بیشترین برجستگی است و کمترین مقدار این شاخص نیز مربوط به حوضه 27 با مقدار 46 است.

تحلیل شاخص ضریب شکل:

با استفاده از مدل رقومی ارتفاعی 30 متر منطقه و آبراهه اصلی هر حوضه، مساحت و طول برای هر حوضه به دست آمد و شاخص ضریب شکل در ۴۲ حوضه زهکشی اندازه‌گیری جدول ۱ و نقشه پهنه‌بندی ترسیم شد (شکل ۶). شاخص ضریب شکل به پنج رده فعالیت زمین‌ساختی تقسیم گردید: رده ۱ فعالیت زمین‌ساختی بسیار بالا ($Ff < 0/12$)، رده ۲ فعالیت زمین‌ساختی بالا ($0/12 \geq Ff < 0/09$)، رده ۳ فعالیت زمین‌ساختی متوسط ($0/09 \geq Ff < 0/04$)، رده ۴ فعالیت زمین‌ساختی بسیار کم ($0/04 \geq Ff < 0/024$)، رده ۵ فعالیت زمین‌ساختی بسیار کم ($0/024 \geq Ff < 0/012$). مقدار این شاخص در گستره مورد مطالعه بین $0/09$ تا $0/46$ است.

تحلیل شاخص انتگرال و منحنی فرازنگی:

باشد حوزه کشیده‌تر است [Singh et al, 2014]. حوضه‌های زهکشی در مناطق فعال از نظر زمین‌ساختی، دارای شکل کشیده‌تر هستند [Bull, 1977].

انتگرال و منحنی فرازنگی (Hi):

انتگرال فرازنگی توصیف‌کننده توزیع نسبی ارتفاع در یک منطقه به ویژه حوضه آبریز است و بیانگر حجم فرسایش نیافته حوضه است [Keller, 1952] و از رابطه (۴) محاسبه می‌شود [Pinter, 2002]

رابطه (۴)

$$Hi = (\text{average elevation} - \text{min elevation}) / (\text{max elevation} - \text{min elevation})$$

مقادیر بالای این شاخص مربوط به نواحی فعال و جوان زمین‌ساختی است و مقادیر پایین آن مربوط به نواحی قدیمی است که کمتر تحت تأثیر زمین‌ساخت فعال قرار گرفته‌اند [El Hamdouni et al, 2008]. منحنی فرازنگی نشان‌دهنده توزیع مساحت، ارتفاع و برجستگی‌ها در یک حوضه زهکشی است و مرحله تکامل یک حوضه زهکشی را مشخص می‌کند. این منحنی از ترسیم مساحت نسبی (a/A) در محور افقی به ارتفاع نسبی (h/H) در محور عمودی حاصل می‌شود [Strahler, 1952].

شاخص گرادیان طولی رود (SL):

شاخص گرادیان طولی رود تأثیر تغییرات محیطی بر روی پروفیل طولی رودخانه را نشان می‌دهد و برای ارزیابی زمین‌ساخت فعال نسبی ابزار مفیدی است. این شاخص با استفاده از رابطه (۵) محاسبه می‌شود [Hack, 1973]:

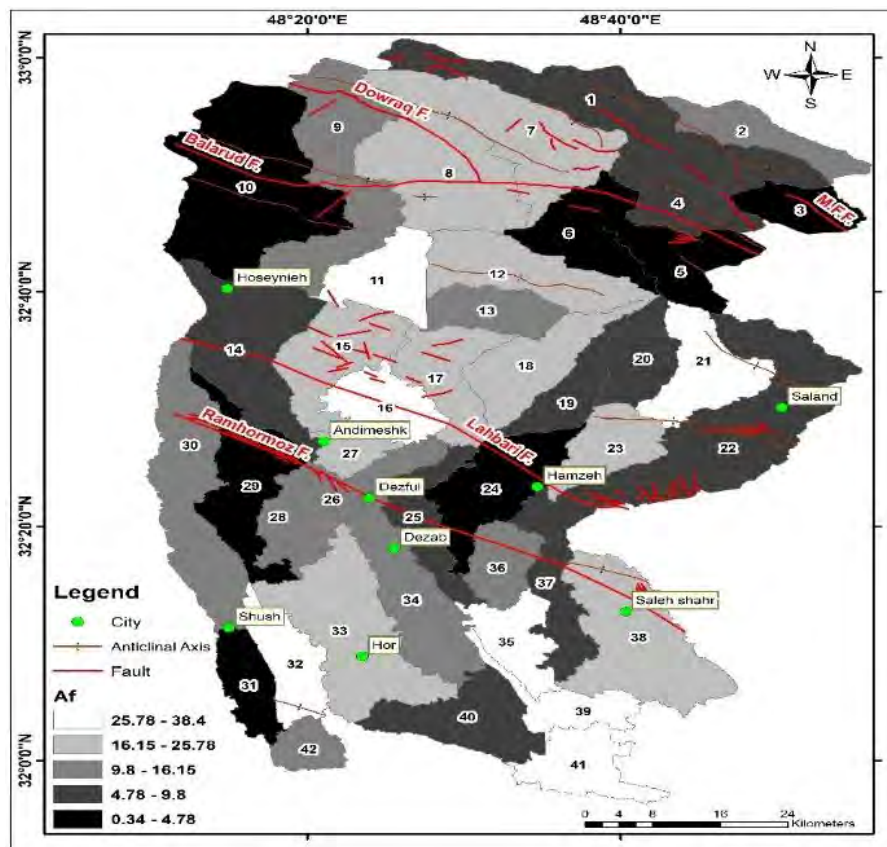
$$SL = (\Delta H / \Delta L) L \quad \text{رابطه (۵)}$$

در این رابطه، (SL) گرادیان طولی رود، (ΔH) اختلاف ارتفاع در یک مقطع خاص از رودخانه، (ΔL) فاصله افقی همان محل، (L) طول کل کanal شبک کanal یا گرادیان مسیر مشخص شده است و $\Delta H / \Delta L$ از نقطه مشخص شده و جایی که شاخص شروع به ارزیابی شده تا مرتفعترین نقطه کanal است. در مناطقی که گسل آبراهه‌های موجود در حوضه را قطع می‌کند، رود دستخوش تغییرات شده و شبک آن افزایش می‌یابد. این شاخص نشان‌دهنده تغییرات توپوگرافیکی در امتداد یک رود است. به طور معمول این تغییرات تحت تأثیر سه عامل که شامل: فعالیت زمین‌ساختی که می‌تواند باعث ایجاد بالا‌آمدگی شود، تفاوت سنگ‌شناسی و فراوانی زیاد تغییرات سطح اساس دریا طی دوره کواترنر هستند. هنگامی که رودخانه‌ها و آبراهه‌ها در نواحی با نزد بالا‌آمدگی زیاد جریان دارند، مقدار شاخص گرادیان طولی رود افزایش می‌یابد [Font et al, 2010].

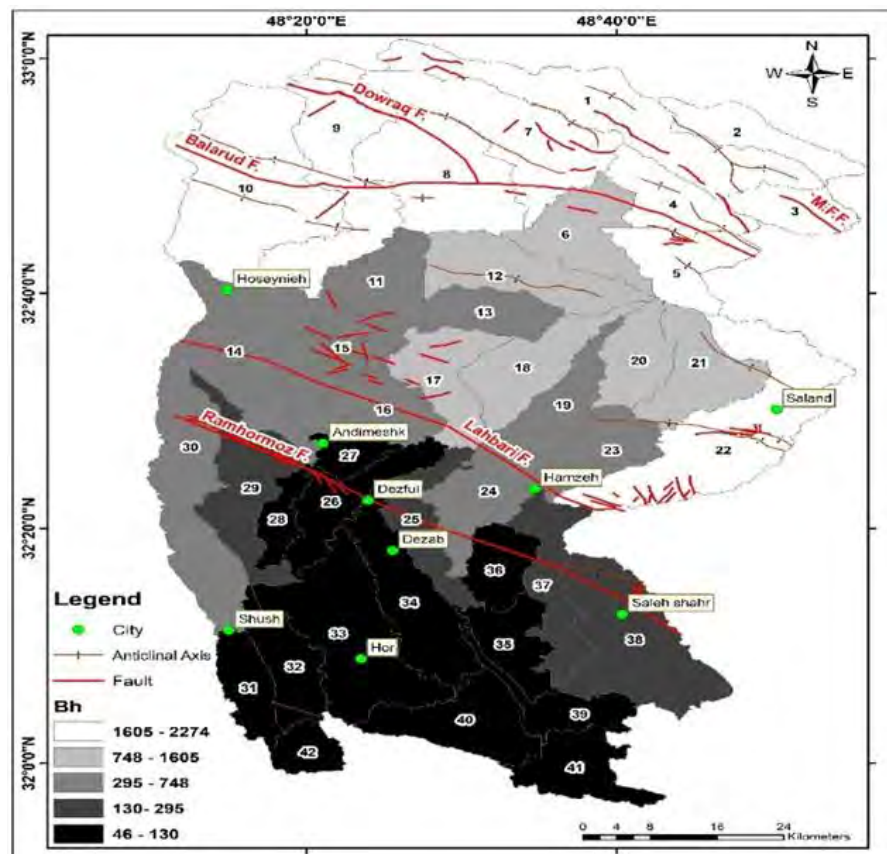
شاخص زمین‌ساخت فعال نسبی (Iat):

به منظور بررسی زمین‌ساخت فعال در حوضه دزفول-اندیمشک از شاخص‌های عدم تقارن حوضه زهکشی، برجستگی نسبی، ضریب شکل، انتگرال و منحنی فرازنگی و گرادیان طولی رود استفاده شده است. هر کدام از شاخص‌های مذکور براساس مقادیری که دارا هستند رده‌بندی می‌شوند و در نهایت برای هر زیرحوضه بنابر روش

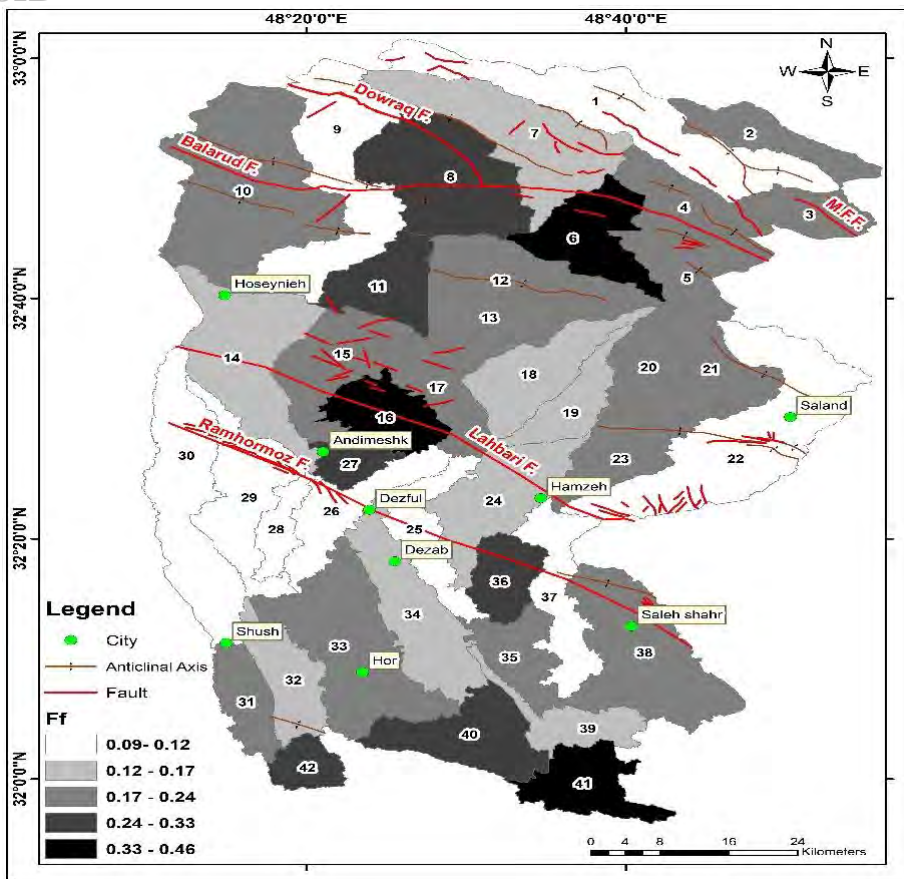
با استفاده از مدل رقومی ارتفاعی با دقت ۳۰ متر، ارتفاع میانگین شد کمینه و بیشینه برای هر حوضه در گستره مورد مطالعه تعیین شد



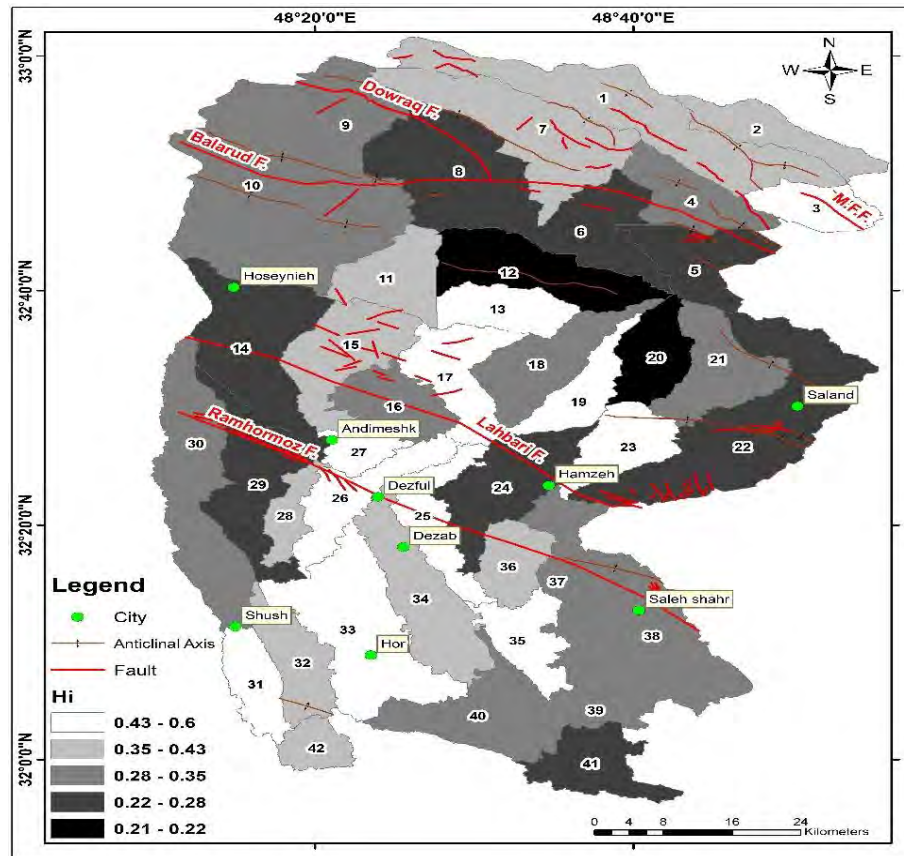
شکل ۴) نقشه پراکندگی شاخص عدم تقارن حوضه زهکشی در منطقه مورد مطالعه



شکل ۵) نقشه پراکندگی شاخص برجستگی نسبی در منطقه مورد مطالعه



شکل ۶) نقشه پراکندگی شاخص ضرب بیشتر در منطقه مورد مطالعه

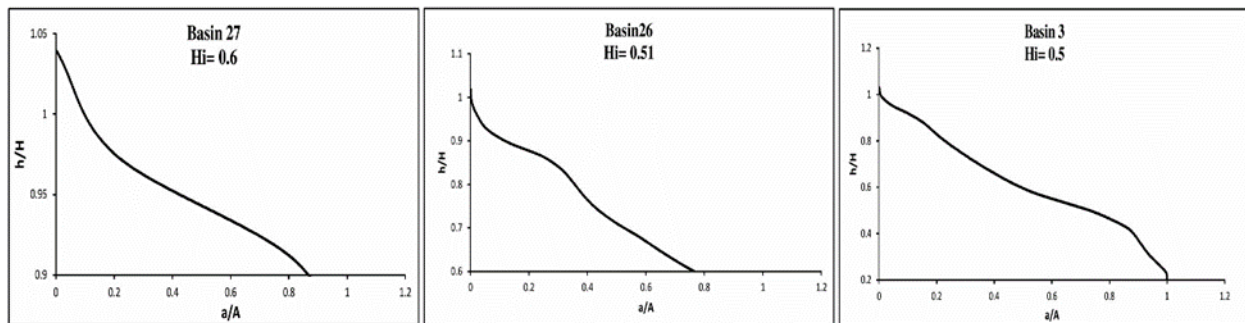


شکل ۷) نقشه پراکندگی شاخص انتگرال فرازنگی در منطقه مورد مطالعه

شاخص مربوط به حوضه‌های شماره ۲۶ و ۳ و کمترین مقدار نیز مربوط به حوضه‌های ۱۲ و ۲۰ است.

شاخص انتگرال فرازنجنی همراه با منحنی فرازنجنی در تعیین وضعیت زمین‌ساختی منطقه به ما کمک می‌کند. منحنی فرازنجنی مربوط به حوضه ۳ با مقدار ۰/۰، حوضه ۲۶ با مقدار ۰/۰۱ و حوضه ۲۷ با مقدار ۰/۰ که دارای بیشترین فعالیت زمین‌ساختی هستند به صورت زیر است (شکل ۸).

و سپس به محاسبه شاخص انتگرال فرازنجنی پرداختیم (جدول ۱). شاخص فرازنجنی به پنج رده فعالیت زمین‌ساختی طبقه‌بندی شد که عبارتند از: رده ۱ فعالیت زمین‌ساختی بسیار بالا $\geq Hi > 0/6$ ، رده ۲ فعالیت زمین‌ساختی بالا $0/43 \geq Hi < 0/6$ ، رده ۴ فعالیت زمین‌ساختی متوسط $0/28 \geq Hi < 0/35$ ، رده ۵ فعالیت زمین‌ساختی کم $0/22 \geq Hi < 0/28$ و رده ۶ بسیار کم $0/21 \geq Hi < 0/22$ است (شکل ۷). بیشترین مقدار این

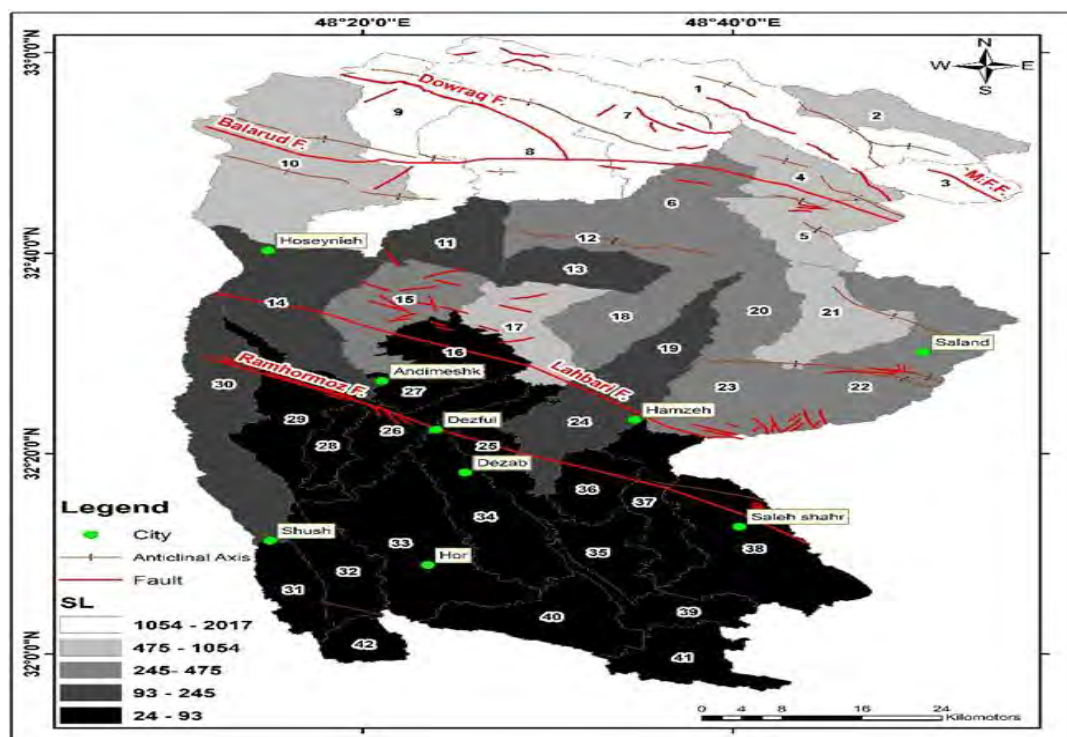


شکل ۸) منحنی بیشینه فرازنجنی در حوضه‌های ۲۶، ۳ و ۲۷

بسیار بالا ($0/54 \geq SL < 0/17$)، رده ۲ فعالیت زمین‌ساختی بالا ($0/75 \geq SL < 0/54$)، رده ۳ فعالیت زمین‌ساختی متوسط ($0/475 \geq SL < 0/245$)، رده ۴ فعالیت زمین‌ساختی بسیار کم ($0/3 \geq SL < 0/245$)، رده ۵ فعالیت زمین‌ساختی بسیار کم ($0/24 \geq SL < 0/24$). حوضه‌های واقع در شمال گستره مورد مطالعه بیشترین مقادیر شاخص مذکور را دارند که به دلیل فعالیت گسل‌های واقع در این حوضه‌ها است.

تحلیل شاخص گرادیان طولی رود:

در این پژوهش، به منظور محاسبه شاخص گرادیان طولی رود برای هر کدام از آبراهه‌های موجود در ۴ زیر حوضه منطقه مورد مطالعه، لایه آبراهه‌ها در محیط ArcGIS افزوده شده و مقادیر $(\Delta H / \Delta L)$ ، L اندازه‌گیری شد. نتایج حاصل از محاسبه این شاخص در جدول ۱ آمده است. شاخص گرادیان طولی رود از نظر فعالیت زمین‌ساختی به ۵ رده تقسیم شده است (شکل ۹) رده ۱ فعالیت زمین‌ساختی



شکل ۹) نقشه پراکندگی مقادیر شاخص گرادیان طولی رود در منطقه مورد مطالعه

مورد مطالعه به چهار رده زمین‌ساخت فعال نسبی طبقه‌بندی شد: رده ۱ فعالیت زمین‌ساختی بسیار بالا ($I_{at} < 1/5$)، رده ۲ فعالیت زمین‌ساختی بالا ($2 \geq I_{at} \geq 1/5$)، رده ۳ فعالیت زمین‌ساختی متوسط ($2/5 < I_{at} < 2$) و رده ۴ فعالیت زمین‌ساختی پایین ($I_{at} \geq 2/5$) را نشان می‌دهد.

تحلیل شاخص زمین‌ساخت فعال نسبی (Iat):

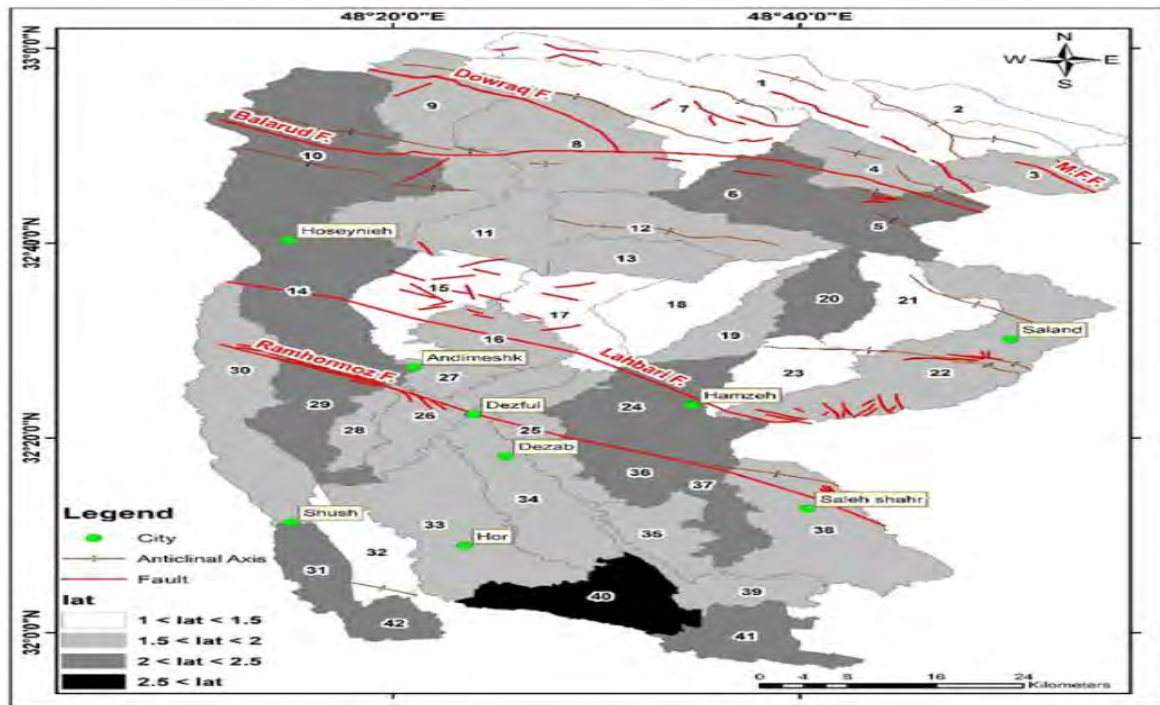
شاخص زمین‌ساخت فعال نسبی با میانگین‌گیری از رده کل شاخص‌های عدم تقارن حوضه زهکشی، برجستگی نسبی، ضریب شکل، انگرال و منحنی فرازنده و گرادیان طولی رود، برای ۴۲ زیرحوضه واقع در گستره مورد مطالعه محاسبه (جدول ۱) و گستره

جدول ۱) مقادیر پنج شاخص اندازه‌گیری شده و سطح فعالیت زمین‌ساختی در گستره مورد مطالعه

شماره حوضه	عدم تقارن حوضه زهکشی	برجستگی نسبی	ضریب شکل	انگرال فرازنده	گرادیان طولی رود	زمین‌ساخت فعال نسبی	ردۀ زمین‌ساخت فعال	ردۀ فعال نسبی
۱	۷/۴	۲۱۰۸	۰/۱۲	۰/۳۸	۱۴۰۲	۱/۵	۱	۱/۵
۲	۱۰/۰۶	۲۰۰۱	۰/۱۹	۰/۳۶	۷۹۳	۱/۵	۱	۱/۵
۳	۲/۷	۲۱۷۹	۰/۲۴	۰/۰	۲۰۱۷	۱/۷۰	۲	۱/۷۰
۴	۷/۶۴	۱۹۰۹	۰/۲۱	۰/۳۳	۷۶۰	۲	۲	۲
۵	۱/۷۳	۱۹۸۵	۰/۲۳	۰/۲۶	۸۳۱	۲/۲۰	۳	۲/۲۰
۶	۱/۶۶	۱۳۰۷	۰/۳۹	۰/۲۲	۴۰۰	۲/۰	۳	۲/۰
۷	۱۷/۱۳	۲۱۶۷	۰/۱۴	۰/۴۱	۱۲۰۰	۱	۱	۱/۵
۸	۱۷/۷۸	۲۰۱۰	۰/۳	۰/۲۵	۱۲۳۸	۲	۲	۱/۷۰
۹	۱۴/۸۷	۲۲۷۴	۰/۱۲	۰/۳	۱۰۰۴	۱/۷۰	۲	۱/۷۰
۱۰	۳/۹	۲۰۰۹	۰/۲	۰/۲۸	۸۱۰	۲/۲۰	۳	۲/۲۰
۱۱	۳۰/۷۸	۶۰۶	۰/۳۸	۰/۳۸	۱۸۰	۱/۷۰	۲	۱/۷۰
۱۲	۲۴/۸۱	۱۱۶۰	۰/۲	۰/۲۱	۳۳۴۴	۱/۷۰	۲	۱/۷۰
۱۳	۱۰/۹۴	۰۸۲	۰/۲۲	۰/۴۰	۱۲۸	۱/۷۰	۲	۱/۷۰
۱۴	۶/۳۱	۷۰۴	۰/۱۰	۰/۲۰	۱۰۰	۲/۲۰	۳	۲/۲۰
۱۵	۲۲/۱۶	۷۰۴	۰/۲	۰/۳۷	۲۴۰	۱/۵	۱	۱/۵
۱۶	۳۱/۰۷	۴۹۰	۰/۴	۰/۳۲	۷۸	۲	۲	۱/۷۰
۱۷	۲۲/۲۵	۷۴۸	۰/۲۱	۰/۴۹	۷۹۰	۱/۲۰	۱	۱/۲۰
۱۸	۱۶/۱۰	۱۱۲۰	۰/۱۶	۰/۲۸	۲۷۷	۱/۲۰	۱	۱/۲۰
۱۹	۷/۰۷	۶۲۱	۰/۱۳	۰/۴۳	۲۲۳	۱/۷۰	۲	۱/۷۰
۲۰	۴/۷۸	۱۱۹۳	۰/۲۴	۰/۲۱	۳۰۰۲	۲/۲۰	۳	۲/۲۰
۲۱	۳۸/۴	۱۱۶۸	۰/۲۱	۰/۳۱	۴۷۰	۱/۵	۱	۱/۵
۲۲	۸/۲۹	۱۶۰۰	۰/۱۱	۰/۲۷	۳۸۶	۲	۲	۱/۷۰
۲۳	۲۰/۰۲	۰۹۱	۰/۱۸	۰/۴۳	۲۸۴	۱/۵	۱	۱/۵
۲۴	۳/۰۴	۴۸۶	۰/۱۷	۰/۲۲	۱۲۲	۲/۲۰	۳	۲/۲۰
۲۵	۷/۷۸	۱۳۰	۰/۰۹	۰/۴۹	۴۰	۲	۲	۱/۷۰
۲۶	۹/۸	۱۰۱	۰/۱۲	۰/۰۱	۴۰	۱/۷۰	۲	۱/۷۰
۲۷	۱۷/۹۴	۴۶	۰/۲۹	۰/۶	۰۶	۲	۲	۱/۷۰
۲۸	۱۳/۳۶	۹۲	۰/۱۲	۰/۴	۲۴	۱/۷۰	۲	۱/۷۰
۲۹	۲/۶۳	۲۲۲	۰/۱	۰/۲۶	۷۹	۲/۰	۲	۱/۰
۳۰	۱۱/۹۷	۲۹۰	۰/۱	۰/۳	۹۳	۱/۷۰	۲	۱/۷۰
۳۱	۰/۳۴	۶۸	۰/۱۸	۰/۴۷	۴۰	۲/۲۰	۳	۲/۲۰
۳۲	۲۰/۷۸	۸۲	۰/۱۰	۰/۴	۳۷	۱/۵	۱	۱/۵
۳۳	۲۲/۰۶	۹۰	۰/۲۴	۰/۴۸	۲۶	۱/۷۰	۲	۱/۷۰
۳۴	۱۱/۹۷	۱۱۹	۰/۱۳	۰/۳۹	۴۳	۱/۷۰	۲	۱/۷۰
۳۵	۲۷/۸۶	۱۱۰	۰/۲۲	۰/۴۸	۲۹	۱/۷۰	۲	۱/۷۰
۳۶	۱۰/۸۲	۱۱۶	۰/۲۸	۰/۳۷	۳۳	۲/۲۰	۳	۲/۲۰
۳۷	۰/۳۷	۲۴۸	۰/۰۹	۰/۳۱	۰۷	۲/۲۰	۳	۲/۲۰
۳۸	۱۷/۹۷	۲۰۴	۰/۱۹	۰/۳۱	۳۵	۲	۲	۱/۷۰
۳۹	۳۲/۹۴	۱۰۳	۰/۱۳	۰/۲۹	۴۲	۱/۷۰	۲	۱/۷۰
۴۰	۸/۰۴	۱۰۰	۰/۲۸	۰/۳۴	۳۳	۲/۰	۳	۲/۰
۴۱	۳۰/۴۶	۱۰۰	۰/۴۶	۰/۲۷	۳۸	۲/۰	۳	۲/۰
۴۲	۱۱/۰۶	۵۷	۰/۳۳	۰/۳۰	۴۷	۲/۲۰	۳	۲/۲۰

مساحت منطقه مورد مطالعه رده ۱ و رده ۲ فعالیت زمین‌ساختی را دارا است.

در نهایت نقشه توزیع سطح فعالیت زمین‌ساخت نسبی در گستره مورد بررسی ترسیم شد (شکل ۱۰). با توجه به این شاخص، بیشتر



شکل ۱۰) نقشه توزیع سطح فعالیت زمین‌ساخت نسبی در منطقه مورد مطالعه

بخش‌های کوچکی از گسل‌های دورق و بالارود و همچنین بیشتر حوضه‌های واقع در امتداد گسل‌های رامهرمز و لهبری دیده می‌شود که موجب شده این حوضه‌ها فعالیت زمین‌ساختی بالا و بسیار بالا را نشان دهند. همچنین می‌توان گفت که تاقدیس‌های موجود در گستره مورد مطالعه موجب شده است که بیشتر حوضه‌ها فعالیت زمین‌ساختی متوسط به بالا را دارا باشند. شاخص انگرگار و منحنی فرازسنگی در حوضه‌های واقع در شمال گستره مورد مطالعه، فعالیت زمین‌ساختی متوسط به بالا را نشان می‌دهد که به دلیل فعالیت گسل پیشانی کوهستان، بخش‌هایی از گسل دورق و بالارود و سایر گسل‌های واقع در این حوضه‌ها است. همچنین فعالیت گسل‌های لهبری و رامهرمز موجب شده که قسمت‌های میانی گستره مورد بررسی فعالیت بسیار بالا و بالا را نشان دهند. براساس شاخص گرادیان طولی رود، گسل دورق در مناطقی که به آبراهه‌های واقع در حوضه‌های ۸ و ۹ بخورد کرده، موجب ایجاد آنومالی در آبراهه‌ها شده و گرادیان طولی رود را افزایش داده است. در حوضه‌های واقع در امتداد گسل بالارود نیز شاهد فعالیت زمین‌ساختی بالا هستیم. گسل پیشانی کوهستان نیز آبراهه موجود در حوضه ۳ را قطع کرده و موجب مقادیر بالایی از شاخص گرادیان طولی رود در این حوضه شده است. با توجه به نتایج حاصل از شاخص زمین‌ساخت فعال نسبی و برپایه نقشه پهنه‌بندی این شاخص، بیشتر مساحت حوضه‌های واقع در گستره مورد مطالعه سطح فعالیت زمین‌ساختی بالا و بسیار بالا را نشان می‌دهند که به دلیل فعالیت گسل‌های پیشانی کوهستان، دورق، بخش‌هایی از گسل‌های بالارود، لهبری، رامهرمز و

بحث

در این مطالعه از شاخص‌های ریخت‌سنگی برای تعیین فعالیت زمین‌ساختی حوضه آبریز درفول- اندیمشک استفاده شده است. پژوهش‌های زیادی با استفاده از شاخص‌های مورفومتری در مناطق مختلف جهان انجام شده که می‌توان به کارهای ولز و همکاران [Guarnieri et al, 1988], گازنیزی و پیروتا [Wells & Knott, 2008]، فیگورا و همکاران [Figueroa & Knott, 2008]، گازنیزی و پیروتا [Melosh & Keller, 2013] اشاره کرد که نتایج حاصل از کار ما را تأیید می‌کند. با توجه به شاخص‌های محاسبه شده، نتایج زیر حاصل شده است:

براساس شاخص عدم تقارن حوضه زهکشی فعالیت زمین‌ساختی بالا و بسیار بالا در امتداد بخش‌هایی از گسل‌های دورق، بالارود، لهبری و همچنین قسمت‌هایی از گسل رامهرمز دیده می‌شود که گویای فعالیت زمین‌ساختی این گسل‌ها در عهد حاضر است. شاخص برجستگی نسبی در حوضه‌های واقع در شمال و شرق منطقه مورد مطالعه بیشترین مقادیر را دارد هستند که نشان دهنده نرخ بالاًمدگی بیشتر به دلیل فعالیت زمین‌ساختی بیشتر در این حوضه‌ها است. حوضه‌هایی که فعالیت زمین‌ساختی بالا و بسیار بالا را نشان می‌دهند تحت تأثیر گسل‌های دورق، بالارود، گسل پیشانی کوهستان، سایر گسل‌های واقع در شمال و شرق منطقه و همچنین چین‌های متعدد موجود در گستره مورد مطالعه هستند. با توجه به شاخص ضربی شکل، حوضه‌هایی با کشیدگی بیشتر دارای فعالیت زمین‌ساختی بالاتری هستند. بیشترین کشیدگی حوضه در مجاورت

Fossen H (2010). Structural geology. Cambridge: Cambridge University Press.

Guarnieri P, Pirrotta C (2008). The response of drainage basins to the late quaternary tectonics in the Sicilian Side of the Messina Strait (NE Sicily). *Geomorphology*. 95(3-4):260- 273.

Hack JT (1973). Stream-profiles analysis and stream-gradient index. *Journal of Research of the U.S Geological Survey*. 1(4):421-429

Hare PW, Gardner TW (1985). Geomorphic indicators of vertical neotectonism along converging plate margins, Nicoya Peninsula, Costa Rica. In: Morisawa M, Hack JT, Editors. *Tectonic Geomorphology*. Proceedings of the 15th Annual Binghamton Geomorphology Symposium, Allen and Unwin, Boston, 123-134. *Tectonic Geomorphology*. 4:75-104.

Holbrook J, Schumm SA (1999). Geomorphic and sedimentary response of rivers to tectonic deformation: A brief review and critique of a tool for recognizing subtle epeirogenic deformation in modern and ancient settings. *Tectonophysics*. 305(1-3):287-306.

Horton RE (1945). Erosional development of streams and their drainage basins hydrophysical approach to quantitative morphology. *Geological Society of America Bulletin*. 56(3):275-370.

Keller EA, Pinter N (1996). Active tectonics Earthquakes, Uplift and Landscape. Upper Saddle River, NJ: Prentice Hall.

Keller EA, Zepeda RL, Rockwell TK, Ku TL, Dinklage WS (1998). Active tectonics at Wheeler Ridge, southern San Joaquin Valley, California. *Geological Society of America Bulletin*. 110(3):298-310.

Keller EA, Pinter N (2002). Earthquakes, Uplift, and landscape. 2nd ed. Upper Saddle River, NJ: Prentice Hall.

Maathuis BHP, Wang L (2006). Digital elevation model based hydro-processing. *Geocarto International*. 21(1):21-26.

Maghsoudi M, Kamrani DH (2009). Evaluation effect of tectonic activity in regulation rivers channel case study: Tajan River. *Journal of Natural Geography Research*. 40(66):37-55. [Persian]

Melosh BL, Keller EA (2013). Effects of active folding and reverse faulting on stream channel evolution, Santa Barbara Fold Belt, California. *Geomorphology*. 186:119-135.

Moore ID, Grayson RB, Ladson AR (1991). Digital terrain modelling: A review of hydrological, geomorphological and biological applications. *Hydrological Process*. 5(1):3-30.

Seif A, Khosravi G (2011). Investigation of active tectonics in Zagros thrust belt Farsan region. *Journal of Natural Geography Research*. 42(4):125-145. [Persian]

Singh P, Gupta A, Singh M (2014). Hydrological inferences from watershed analysis for water resource management using remote sensing and GIS techniques. *The Egyptian journal of Remote Sensing and Space Science*. 17(2):111-121.

Stocklin J (1968). Structural history and tectonics of Iran: A review. *American Association of Petroleum Geologists Bulletin*. 52(7):1229-1258.

Strahler AN (1952). Hypsometric (area–altitude) analysis of erosional topography. *Geological Society of America Bulletin*. 63(11):1117-1142.

Walker RT (2006). A remote sensing study of active folding and faulting in southern Kerman province, SE Iran. *Journal of Structural Geology*. 28(4):654-668.

سایر گسل‌های واقع در منطقه است که موجب شده حوضه آبریز دزفول-اندیمشک فعالیت زمین‌ساخت کنونی بالا و خیلی بالای را دارا باشد.

نتیجه‌گیری

پژوهش انجام شده در این بخش از زاگرس با استفاده از شاخص‌های ریخت‌سنگی حوضه آبریز نشان می‌دهد که به طور کلی حوضه آبریز دزفول-اندیمشک دارای فعالیت زمین‌ساخت نسبی اخیر است که به‌دلیل عملکرد گسل‌های فعال منطقه از جمله گسل‌های پیشانی کوهستان، دورق، بخش‌هایی از گسل‌های بالارود، لهری و راهبرم است. در حدود ۶۰٪-۷۰٪ از گستره مورد مطالعه فعالیت زمین‌ساختی بالا و بسیار بالا، ۲۷٪-۶٪ فعالیت زمین‌ساختی متوسط و ۳٪-۲٪ فعالیت کم را دارا است، نتایج حاصل از بررسی شاخص‌های مورفولوژی مورد استفاده در این پژوهش و تجزیه و تحلیل این شاخص‌ها، فعالیت زمین‌ساختی اخیر این منطقه را تأیید می‌کند.

تشکر و قدردانی: موردی از سوی نویسنده گزارش نشده است.

تأثییدهای اخلاقی: موردی از سوی نویسنده گزارش نشده است.

تعارض منافع: موردی از سوی نویسنده گزارش نشده است.

سهم نویسنده‌گان: محمد خلچ (۱۰۰٪)

منابع مالی: موردی از سوی نویسنده گزارش نشده است.

منابع

Abdideh M, Qureshi M, Rangzan K, Aryan M (2011). Assessment of relative active tectonics using morphometric analysis, case study of Dez River, Southwestern of Iran. *Earth Science*. 20(80):33-46. [Persian]

Bayati Khatibi M (2009). Neotectonic affection analysis on longitudinal river profiles in Gharango Chai basin, the Eastern slope of Sahand. *Geographic-space*. Ahar. 27:79-113. [Persian]

Berberian M (1995). Master "blind" thrust faults hidden under the Zagros folds: active basement tectonics and surface morphotectonics. *Tectonophysics*. 241(3-4):193-224.

Bull WB (1977). Tectonic geomorphology north and south of the Garlock fault, California. In: *Geomorphology in Arid Regions*, Proceedings of the Eighth Annual Geomorphology Symposium, State University of New York. Binghamton. pp. 115-138

Burbank DW, Anderson RS (2012). *Tectonic Geomorphology*. 2nd ed. United States: Wiley.

El Hamdouni R, Irigaray C, Fernandez T, Chacón J, Keller EA (2008). Assessment of relative active tectonics, southwest border of Sierra Nevada (southern Spain). *Geomorphology*. 96(1-2):150-173.

Figueroa AM, Knott JR (2010). Tectonic geomorphology of the southern Sierra Nevada Mountains (California): Evidence for uplift and basin formation. *Geomorphology*. 123(1-2):34- 45.

Font M, Amorese D, Lagarde JL (2010). DEM and GIS analysis of the stream gradient index to evaluate effects of tectonics: The Normandy intraplate area (NW France). *Geomorphology*. 119(3-4):172-180.

Yamani M, Maghsudi M, Ghassemi MR, Mohammadnejad V (2012). Morphologic and morphometric evidence for active tectonic effects on Alluvial fans in north Damgha. *Physical Geography Research Quarterly.* 44(2):1-18. [Persian]

Wells SG, Bullard TF, Menges CM, Drake PG, Karas PA, Kelson KI, et al (1988). Regional variations in tectonic geomorphology along a segmented convergent plate boundary. *Pacific Coast of Costa Rica. Geomorphology.* 1(3):239-265.